



Laboratorium Badań Środowiskowych
ul. Józefa Piusa Dziekońskiego 3
00-728 Warszawa
e-mail: Laboratorium@networks.pl



AB 419

S P R A W O Z D A N I E 6190/2021/OS
Z POMIARÓW PÓL ELEKTROMAGNETYCZNYCH
WYKONANYCH DLA POTRZEB OCHRONY ŚRODOWISKA

Badany obiekt: Instalacja radiokomunikacyjna T-Mobile Polska S.A.

Numer i nazwa: 46075 (76075N!) PWR_WROCLAW_PARAFIALNA

Adres: WROCLAW, PARAFIALNA 68 DZ.46, Powiat m. Wrocław, WOJ. DOLNOŚLĄSKIE

Data wykonania pomiarów: 2021-09-08

Sprawozdanie z badań bez pisemnej zgody laboratorium nie może być powielane inaczej niż w całości.
Wynik przedstawione w niniejszym sprawozdaniu odnoszą się wyłącznie do badanego obiektu i do warunków i konfiguracji urządzeń w dniu wykonywania pomiarów.

1. Właściciel badanego obiektu:

T-Mobile Polska S.A., ul. Marynarska 12, 02-674 Warszawa

2. Zleceniodawca:

T-Mobile Polska S.A., ul. Marynarska 12, 02-674 Warszawa

3. Przedstawiciel zleceniodawcy:

NetWorkS! Sp.z o.o.

4. Zakres zlecenia:

Wykonanie badania i opracowanie sprawozdania z pomiarów natężenia pola elektrycznego i pola magnetycznego dla instalacji radiokomunikacyjnej T-Mobile Polska S.A. zlokalizowanej w miejscowości WROCLAW, PARAFIALNA 68 DZ.46.

5. Cel zlecenia:

Wykonanie pomiarów pól elektromagnetycznych w otoczeniu instalacji radiokomunikacyjnej 46075 (76075N!) PWR_WROCLAW_PARAFIALNA w odniesieniu do wymagań określonych w *Rozporządzeniu Ministra Klimatu z dnia 17 lutego 2020 r. w sprawie sposobów sprawdzania dotrzymania dopuszczalnych poziomów pól elektromagnetycznych w środowisku (Dz. U. 2020, poz. 258)*.

6. Pomiary zostały wykonane przez:

Harbacewicz Maciej
Ciesielski Daniel

7. Informacje o źródłach pól elektromagnetycznych

7.1. Sposób identyfikacji badanych źródeł pól elektromagnetycznych

Identyfikacji źródeł i parametrów technicznych dokonano na podstawie analizy dokumentacji dotyczącej zlecenia oraz obserwacji miejsca wykonywania badań.

7.2. Opis miejsca zainstalowania anten i urządzeń technicznych. Opis obiektu badań i jego otoczenia

Instalacja radiokomunikacyjna zlokalizowana jest na terenie ogrodzonym. Anteny zawieszono na wieży strunobetonowej. Urządzenia sterujące oraz zasilające zainstalowano w kontenerze u podstawy wieży. Wokół instalacji znajduje się miasto.

Instalacja radiokomunikacyjna jest obiektem bezobsługowym. Okresowe stanowiska pracy związane są z prowadzonymi w zależności od potrzeb konserwacjami, przeglądami, strojeniem i naprawami.

7.3. Parametry techniczne źródła pola elektromagnetycznego

Dane przedstawiające maksymalne parametry pracy instalacji przekazane przez zleceniodawcę:

Parametry systemu nadawczo-odbiorczego:

| Charakterystyka promieniowania | | kierunkowa | | | | | |
|---------------------------------|--|----------------------|--------------|------------|---------------------|---|--|
| Rzeczywisty czas pracy [h/dobę] | | 24 | | | | | |
| Warunki pracy | | znamionowe | | | | | |
| Rodzaj wytwarzanego pola | | stacjonarne | | | | | |
| Lp. | Częstotliwość lub zakresy częstotliwości pracy [MHz] | Typ/producent anteny | liczba anten | Azymut [°] | kąt pochylenia* [°] | Wysokość środka elektrycznego anteny [m n.p.t.] | Równoważna moc promieniowana izotropowo (EIRP) [W] |
| 1 | 2100/ 1800/ 900/ 900 | ATR4518R13v06 Huawei | 1 | 110 | 5/ 5/ 5/ 5 | 31 | 14317 |
| 2 | 2600/ 800 | ATR4518R6v06 Huawei | 1 | 110 | 5/ 5 | 31 | 17668 |
| 3 | 900/ 900/ 1800/ 2100 | ATR4518R13v06 Huawei | 1 | 230 | 5/ 5/ 5/ 5 | 31 | 14317 |
| 4 | 800/ 2600 | ATR4518R6v06 Huawei | 1 | 230 | 5/ 5 | 31 | 17668 |
| 5 | 900/ 1800/ 2100/ 900 | ATR4518R13v06 Huawei | 1 | 350 | 7/ 7/ 7/ 7 | 31 | 14317 |
| 6 | 2600/ 800 | ATR4518R6v06 Huawei | 1 | 350 | 6/ 7 | 31 | 17668 |

* wskazane wartości kąta pochylenia anten, zgodnie z informacją uzyskaną od zleceniodawcy, są wartościami stałymi

Parametry radiolinii:

| Charakterystyka promieniowania | | kierunkowa | | | | | |
|---------------------------------|-----------------------------------|---------------------------|--|-----------------|---------------------|------------|-----------------------------------|
| Rzeczywisty czas pracy [h/dobę] | | 24 | | | | | |
| Warunki pracy | | znamionowe | | | | | |
| Rodzaj wytwarzanego pola | | stacjonarne | | | | | |
| Lp. | Linia radiowa | | | Antena | | | |
| | Typ/ Producent | Częstotliwość pracy [GHz] | Równoważna moc promieniowana izotropowo (EIRP) [W] | Typ/ producent | Średnica anteny [m] | Azymut [°] | Wysokość zainstalowania n.p.t [m] |
| 1. | NEC iPasolink 100E Harris Stratex | 38 | 3.5 | VHLP1-38 Andrew | 0.3 | 317 | 30 |

7.4 Inne źródła pól elektromagnetycznych

Na podstawie informacji otrzymanych od użytkownika oraz obserwacji otoczenia miejsca wykonywania pomiarów oraz stwierdzono występowanie innych źródeł pola-EM, pracujących w systemie: telefonii komórkowej (800MHz-2600MHz), linii radiowych (5GHz – 90GHz). Nie rozpoznano szczegółowych danych dotyczących parametrów technicznych źródeł pola-EM innych użytkowników.

8. Opis pomiarów

8.1. Metoda badań

Zgodna z rozporządzeniem Ministra Klimatu z dnia 17 lutego 2020 r. w sprawie sposobów sprawdzania dotrzymania dopuszczalnych poziomów pól elektromagnetycznych w środowisku (Dz. U. 2020, poz. 258), określona w pkt 25 ppkt 1 załącznika do niniejszego rozporządzenia.

Sprawozdanie z badań bez pisemnej zgody laboratorium nie może być powielane inaczej niż w całości.
Wynik przedstawione w niniejszym sprawozdaniu odnoszą się wyłącznie do badanego obiektu i do warunków i konfiguracji urządzeń w dniu wykonywania pomiarów.

Zgodnie z art. 122a ust. 1b ustawy Prawo Ochrony Środowiska, w przypadku wprowadzenia na części albo całym terytorium Rzeczypospolitej Polskiej stanu nadzwyczajnego, o którym mowa w art. 228 ust. 1 Konstytucji Rzeczypospolitej Polskiej z dnia 2 kwietnia 1997 r. (Dz. U. poz. 483, z 2001 r. poz. 319, z 2006 r. poz. 1471 oraz z 2009 r. poz. 946), lub stanu zagrożenia epidemicznego lub stanu epidemii, o których mowa w art. 46 ustawy z dnia 5 grudnia 2008 r. o zapobieganiu oraz zwalczaniu zakażeń i chorób zakaźnych u ludzi (Dz. U. z 2019 r. poz. 1239, z późn. zm.8)), pomiarów , nie przeprowadza się w lokalach mieszkalnych oraz w lokalach użytkowych zlokalizowanych na terytorium objętym stanem nadzwyczajnym, stanem zagrożenia epidemicznego lub stanem epidemii.

W związku z obecnie obowiązującym stanem epidemii, pomiarów nie wykonano w lokalach mieszkalnych oraz w lokalach użytkowych zlokalizowanych w obszarze pomiarowym przedmiotowej instalacji radiokomunikacyjnej.

8.2. Termin pomiarów i warunki środowiskowe

Podczas wykonywania pomiarów pól elektromagnetycznych nie występowały opady atmosferyczne. Wyniki pomiaru parametrów pogodowych przedstawia poniższa tabela:

| Data [rrrr-mm-dd] | Godzina [hh:mm-hh:mm] | Warunki środowiskowe | | | |
|----------------------|--------------------------|----------------------|--------------|-------------------------|--------------|
| | | Temperatura [°C] | | Wilgotność względna [%] | |
| 2021-09-08 | 11:35-12:55 | Przed pomiarem | Po pomiarach | Przed pomiarem | Po pomiarach |
| | | 25.1 | 25.3 | 57.5 | 57.3 |

Przedstawione wyżej warunki środowiskowe, występujące podczas wykonywania pomiarów pól elektromagnetycznych, są zgodne ze specyfikacją techniczną użytego zestawu pomiarowego.

8.3. Warunki pracy urządzeń nadawczych

Podczas pomiarów zostały uwzględnione poprawki pomiarowe przekazane przez zleceniodawcę, umożliwiające uwzględnienie maksymalnych parametrów pracy instalacji zgodnie z pkt 7 załącznika do Rozporządzenia Ministra Klimatu z dnia 17 lutego 2020 r. w sprawie sposobów sprawdzania dotrzymania dopuszczalnych poziomów pól elektromagnetycznych w środowisku (Dz. U. 2020, poz. 258).

8.4. Wyposażenie pomiarowe

Zestaw pomiarowy służący do pomiaru natężenia składowej elektrycznej pola elektromagnetycznego złożony z szerokopasmowego miernika i sondy pomiarowej:

| Oznaczenie miernika | Producent | Model | Numer fabryczny | Oznaczenie sondy | Producent | Model | Numer fabryczny |
|---------------------|----------------------------|--|-----------------|------------------|----------------------------|---------------|-----------------|
| M-03Z | Narda Safety Test Solution | Miernik pól elektromagnetycznych NBM-550 | G-0622 | S-31 | Narda Safety Test Solution | Sonda EF-6092 | C-0193 |

Mierniki natężenia pola elektromagnetycznego podlegają okresowemu sprawdzeniu zgodnie z procedurą wewnętrzną P-03 i PB-01. Świadectwo wzorcowania zestawu pomiarowego z dnia 2 marca 2021 o numerze LWIMP/W/059/21 wydane przez Politechnikę Wrocławską.

Data ważności świadectwa wzorcowania: 2 marca 2023 (zgodnie z procedurą wewnętrzną P-03).

Termohigrometr:

| | | | | | |
|-------------|-------|------------|--------------------|--------|-----------------------|
| Oznaczenie: | TH-13 | Producent: | AZ INSTRUMENT CORP | Model: | Termohigrometr AZ8706 |
|-------------|-------|------------|--------------------|--------|-----------------------|

Data ważności świadectwa wzorcowania: 30 grudnia 2022 (zgodnie z procedurą wewnętrzną P-03).

Dalmierz:

| Oznaczenie | Producent | Typ | Numer seryjny | Nr świadectwa wzorcowania | Data świadectwa wzorcowania |
|------------|-----------|---------------------------|---------------|---------------------------|-----------------------------|
| D-10 | Leica | Dalmierz Leica Disto D510 | 1042956690 | 4609.13-M11-4180-1748/14 | 9 stycznia 2015 |

Data ważności świadectwa wzorcowania: 9 stycznia 2025 (zgodnie z procedurą wewnętrzną P-03).

Sprawozdanie z badań bez pisemnej zgody laboratorium nie może być powielane inaczej niż w całości.
Wynik przedstawione w niniejszym sprawozdaniu odnoszą się wyłącznie do badanego obiektu i do warunków i konfiguracji urządzeń w dniu wykonywania pomiarów.

9. Wyniki pomiarów

Pole elektryczne

| Nr pionu | Opis umiejscowienia pionu (punktu) pomiarowego | Wysokość pomiaru [m] | Zmierzona wartość natężenia pola elektrycznego E [V/m] ^{1,5} | Wartość natężenia pola elektrycznego po uwzględnieniu poprawek pomiarowych powiększona o niepewność pomiaru ⁴ E [V/m] | Wskaźnikowa wartość poziomu emisji pól elektromagnetycznych WMe ³ | Współrzędne geograficzne pionu (punktu) pomiarowego ² |
|----------|---|----------------------|---|--|--|--|
| 1 | PPP rampa wyładunkową sklepu Biedronka | 2,0 | 1,6 | 4 | 0.14 | 51°3'28.799" 17°1'21.36" |
| 2 | PPP płaszczyzna okna sklepu Biedronka | 2,0 | 1,7 | 4.3 | 0.15 | 51°3'28.08" 17°1'21.72" |
| 3 | PPP w wejściu do budynku Domu Kultury | 0,3-2,0 | <1,0 | 2.5 | 0.09 | 51°3'27.719" 17°1'23.519" |
| 4 | PPP w wejściu do Pizzerii | 2,0 | 2,2 | 5.6 | 0.2 | 51°3'29.88" 17°1'22.799" |
| 5 | PPP w wejściu na teren zamkniętej posesji ul. Parafialna 75 | 2,0 | 1,7 | 4.3 | 0.15 | 51°3'29.16" 17°1'23.519" |
| 6 | PPP plac zabaw | 2,0 | 1,4 | 3.5 | 0.13 | 51°3'29.519" 17°1'24.599" |
| 7 | PPP w wejściu awaryjnym do Lidla | 2,0 | 1,3 | 3.3 | 0.12 | 51°3'31.679" 17°1'26.4" |
| 8 | PPP w wejściu do hurtowni dywanów | 2,0 | 1,3 | 3.3 | 0.12 | 51°3'33.48" 17°1'23.879" |
| 9 | PPP przed wejściem na teren zamkniętej posesji, Parafialna 73 | 0,3-2,0 | <1,0 | 2.5 | 0.09 | 51°3'31.679" 17°1'24.599" |
| 10 | PPP w wejściu na teren zamkniętej posesji, ul. Parafialna 73a | 2,0 | 2,0 | 5 | 0.18 | 51°3'30.959" 17°1'24.239" |
| 11 | GKP w odległości 4m od anteny sektorowej az. 110° | 0,3-2,0 | <1,0 | 2.5 | 0.09 | 51°3'30.239" 17°1'25.68" |
| 12 | GKP w odległości 48m od anteny sektorowej az. 110° | 2,0 | 1,9 | 4.8 | 0.17 | 51°3'29.88" 17°1'27.48" |
| 13 | GKP w odległości 73m od anteny sektorowej az. 110° | 2,0 | 1,6 | 4 | 0.14 | 51°3'29.519" 17°1'28.199" |
| 14 | GKP w odległości 9m od anteny sektorowej az. 230° | 2,0 | 1,6 | 4 | 0.14 | 51°3'29.88" 17°1'24.959" |
| 15 | GKP w odległości 40m od anteny sektorowej az. 230° | 2,0 | 1,9 | 4.8 | 0.17 | 51°3'29.519" 17°1'23.879" |
| 16 | GKP w odległości 73m od anteny sektorowej az. 230° | 2,0 | 1,5 | 3.8 | 0.14 | 51°3'28.799" 17°1'22.439" |
| 17 | PPP ostatnie piętro klatki schodowej budynku mieszkalnego ul. Nenckiego 59b | 2,0 | 1,3 | 3.3 | 0.12 | 51°3'29.519" 17°1'28.199" |
| 18 | PPP ostatnie piętro klatki schodowej budynku mieszkalnego ul. Nenckiego 59a | 0,3-2,0 | <1,0 | 2.5 | 0.09 | 51°3'29.16" 17°1'28.919" |
| 19 | GKP w odległości 75m od anteny | 2,0 | 1,6 | 4 | 0.14 | 51°3'29.519" 17°1'28.919" |

Sprawozdanie z badań bez pisemnej zgody laboratorium nie może być powielane inaczej niż w całości.
Wynik przedstawione w niniejszym sprawozdaniu odnoszą się wyłącznie do badanego obiektu i do warunków i konfiguracji urządzeń w dniu wykonywania pomiarów.

| | | | | | | |
|----|--|---------|------|-----|------|------------------------------|
| | sektorowej az. 110° | | | | | |
| 20 | GKP w odległości 107m od anteny sektorowej az. 110° | 2,0 | 1,5 | 3.8 | 0.14 | 51°3'29.16" 17°1'30.72" |
| 21 | GKP w odległości 95m od anteny sektorowej az. 230° | 2,0 | 1,8 | 4.5 | 0.16 | 51°3'28.08" 17°1'21.72" |
| 22 | GKP w odległości 6m od anteny radioliniowej az. 316° | 2,0 | 1,5 | 3.8 | 0.14 | 51°3'30.239" 17°1'24.959" |
| 23 | GKP w odległości 30m od anteny radioliniowej az. 316° | 2,0 | 1,9 | 4.8 | 0.17 | 51°3'30.959" 17°1'24.239" |
| 24 | GKP w odległości 7m od anteny radioliniowej az. 316° | 2,0 | 1,3 | 3.3 | 0.12 | 51°3'30.6" 17°1'25.32" |
| 25 | GKP w odległości 27m od anteny sektorowej az. 350° | 2,0 | 1,7 | 4.3 | 0.15 | 51°3'30.959" 17°1'24.959" |
| 26 | GKP w odległości 57m od anteny sektorowej az. 350° | 2,0 | 2,0 | 5 | 0.18 | 51°3'32.04" 17°1'24.959" |
| 27 | GKP w odległości 88m od anteny sektorowej az. 350° | 2,0 | 1,3 | 3.3 | 0.12 | 51°3'33.119" 17°1'24.599" |
| 28 | GKP w odległości 120m od anteny sektorowej az. 350° | 2,0 | 1,6 | 4 | 0.14 | 51°3'34.199" 17°1'24.239" |
| 29 | PPP na az. 1° w odległości 103m od anteny sektorowej az. 350° | 2,0 | 1,4 | 3.5 | 0.13 | 51°3'33.48" 17°1'25.32" |
| 30 | PPP na az. 132° w odległości 83m od anteny sektorowej az. 110° | 2,0 | 1,3 | 3.3 | 0.12 | 51°3'28.439" 17°1'28.559" |
| 31 | PPP na az. 213° w odległości 90m od anteny sektorowej az. 230° | 2,0 | 1,6 | 4 | 0.14 | 51°3'27.719" 17°1'22.799" |
| - | GKP w odległości 227m od anteny sektorowej az. 110° | 0,3-2,0 | <1,0 | 2.5 | 0.09 | 51°3'27.719" 17°1'36.48" |
| - | GKP w odległości 312m od anteny sektorowej az. 110° | 0,3-2,0 | <1,0 | 2.5 | 0.09 | 51°3'26.64" 17°1'40.439" |
| - | GKP w odległości 188m od anteny sektorowej az. 230° | 0,3-2,0 | <1,0 | 2.5 | 0.09 | 51°3'26.279" 17°1'17.759" |
| - | GKP w odległości 316m od anteny sektorowej az. 230° | 0,3-2,0 | <1,0 | 2.5 | 0.09 | 51°3'23.76" 17°1'12.719" |
| 36 | GKP w odległości 153m od anteny sektorowej az. 350° | 0,3-2,0 | <1,0 | 2.5 | 0.09 | 51°3'35.28" 17°1'23.879" |
| - | GKP w odległości 335m od anteny sektorowej az. 350° | 0,3-2,0 | <1,0 | 2.5 | 0.09 | 51°3'41.039" 17°1'22.439" |

Sprawozdanie z badań bez pisemnej zgody laboratorium nie może być powielane inaczej niż w całości.
Wynik przedstawione w niniejszym sprawozdaniu odnoszą się wyłącznie do badanego obiektu i do warunków i konfiguracji urządzeń w dniu wykonywania pomiarów.

Pole magnetyczne (wyznaczone na podstawie pomiaru wartości natężenia pola elektrycznego)

| Nr pionu | Opis umiejscowienia pionu (punktu) pomiarowego | Wysokość pomiaru [m] | Wartość natężenia pola magnetycznego H [A/m] ¹ | Wartość natężenia pola magnetycznego po uwzględnieniu poprawek pomiarowych powiększona o niepewność pomiaru ⁴ H [A/m] | Wskaźnikowa wartość poziomu emisji pól elektromagnetycznych WM _H ³ | Współrzędne geograficzne pionu (punktu) pomiarowego ² |
|----------|---|----------------------|---|--|--|--|
| 1 | PPP rampa wyładunkową sklepu Biedronka | 2,0 | 0.004 | 0.011 | 0.15 | 51°3'28.799" 17°1'21.36" |
| 2 | PPP płaszczyzna okna sklepu Biedronka | 2,0 | 0.005 | 0.011 | 0.16 | 51°3'28.08" 17°1'21.72" |
| 3 | PPP w wejściu do budynku Domu Kultury | 0,3-2,0 | <0.003* | 0.007 | 0.09 | 51°3'27.719" 17°1'23.519" |
| 4 | PPP w wejściu do Pizzerii | 2,0 | 0.006 | 0.015 | 0.2 | 51°3'29.88" 17°1'22.799" |
| 5 | PPP w wejściu na teren zamkniętej posesji ul. Parafialna 75 | 2,0 | 0.005 | 0.011 | 0.16 | 51°3'29.16" 17°1'23.519" |
| 6 | PPP plac zabaw | 2,0 | 0.004 | 0.009 | 0.13 | 51°3'29.519" 17°1'24.599" |
| 7 | PPP w wejściu awaryjnym do Lidla | 2,0 | 0.003 | 0.009 | 0.12 | 51°3'31.679" 17°1'26.4" |
| 8 | PPP w wejściu do hurtowni dywanów | 2,0 | 0.003 | 0.009 | 0.12 | 51°3'33.48" 17°1'23.879" |
| 9 | PPP przed wejściem na teren zamkniętej posesji, Parafialna 73 | 0,3-2,0 | <0.003* | 0.007 | 0.09 | 51°3'31.679" 17°1'24.599" |
| 10 | PPP w wejściu na teren zamkniętej posesji, ul. Parafialna 73a | 2,0 | 0.005 | 0.013 | 0.18 | 51°3'30.959" 17°1'24.239" |
| 11 | GKP w odległości 4m od anteny sektorowej az. 110° | 0,3-2,0 | <0.003* | 0.007 | 0.09 | 51°3'30.239" 17°1'25.68" |
| 12 | GKP w odległości 48m od anteny sektorowej az. 110° | 2,0 | 0.005 | 0.013 | 0.17 | 51°3'29.88" 17°1'27.48" |
| 13 | GKP w odległości 73m od anteny sektorowej az. 110° | 2,0 | 0.004 | 0.011 | 0.15 | 51°3'29.519" 17°1'28.199" |
| 14 | GKP w odległości 9m od anteny sektorowej az. 230° | 2,0 | 0.004 | 0.011 | 0.15 | 51°3'29.88" 17°1'24.959" |
| 15 | GKP w odległości 40m od anteny sektorowej az. 230° | 2,0 | 0.005 | 0.013 | 0.17 | 51°3'29.519" 17°1'23.879" |
| 16 | GKP w odległości 73m od anteny sektorowej az. 230° | 2,0 | 0.004 | 0.01 | 0.14 | 51°3'28.799" 17°1'22.439" |
| 17 | PPP ostatnie piętro klatki schodowej budynku mieszkalnego ul. Nenckiego 59b | 2,0 | 0.003 | 0.009 | 0.12 | 51°3'29.519" 17°1'28.199" |
| 18 | PPP ostatnie piętro klatki schodowej budynku mieszkalnego ul. Nenckiego 59a | 0,3-2,0 | <0.003* | 0.007 | 0.09 | 51°3'29.16" 17°1'28.919" |
| 19 | GKP w odległości 75m od anteny sektorowej az. 110° | 2,0 | 0.004 | 0.011 | 0.15 | 51°3'29.519" 17°1'28.919" |

Sprawozdanie z badań bez pisemnej zgody laboratorium nie może być powielane inaczej niż w całości.
Wynik przedstawione w niniejszym sprawozdaniu odnoszą się wyłącznie do badanego obiektu i do warunków i konfiguracji urządzeń w dniu wykonywania pomiarów.

| | | | | | | |
|----|--|---------|---------|-------|------|------------------------------|
| 20 | GKP w odległości 107m od anteny sektorowej az. 110° | 2,0 | 0.004 | 0.01 | 0.14 | 51°3'29.16" 17°1'30.72" |
| 21 | GKP w odległości 95m od anteny sektorowej az. 230° | 2,0 | 0.005 | 0.012 | 0.17 | 51°3'28.08" 17°1'21.72" |
| 22 | GKP w odległości 6m od anteny radioliniowej az. 316° | 2,0 | 0.004 | 0.01 | 0.14 | 51°3'30.239" 17°1'24.959" |
| 23 | GKP w odległości 30m od anteny radioliniowej az. 316° | 2,0 | 0.005 | 0.013 | 0.17 | 51°3'30.959" 17°1'24.239" |
| 24 | GKP w odległości 7m od anteny radioliniowej az. 316° | 2,0 | 0.003 | 0.009 | 0.12 | 51°3'30.6" 17°1'25.32" |
| 25 | GKP w odległości 27m od anteny sektorowej az. 350° | 2,0 | 0.005 | 0.011 | 0.16 | 51°3'30.959" 17°1'24.959" |
| 26 | GKP w odległości 57m od anteny sektorowej az. 350° | 2,0 | 0.005 | 0.013 | 0.18 | 51°3'32.04" 17°1'24.959" |
| 27 | GKP w odległości 88m od anteny sektorowej az. 350° | 2,0 | 0.003 | 0.009 | 0.12 | 51°3'33.119" 17°1'24.599" |
| 28 | GKP w odległości 120m od anteny sektorowej az. 350° | 2,0 | 0.004 | 0.011 | 0.15 | 51°3'34.199" 17°1'24.239" |
| 29 | PPP na az. 1° w odległości 103m od anteny sektorowej az. 350° | 2,0 | 0.004 | 0.009 | 0.13 | 51°3'33.48" 17°1'25.32" |
| 30 | PPP na az. 132° w odległości 83m od anteny sektorowej az. 110° | 2,0 | 0.003 | 0.009 | 0.12 | 51°3'28.439" 17°1'28.559" |
| 31 | PPP na az. 213° w odległości 90m od anteny sektorowej az. 230° | 2,0 | 0.004 | 0.011 | 0.15 | 51°3'27.719" 17°1'22.799" |
| - | GKP w odległości 227m od anteny sektorowej az. 110° | 0,3-2,0 | <0.003* | 0.007 | 0.09 | 51°3'27.719" 17°1'36.48" |
| - | GKP w odległości 312m od anteny sektorowej az. 110° | 0,3-2,0 | <0.003* | 0.007 | 0.09 | 51°3'26.64" 17°1'40.439" |
| - | GKP w odległości 188m od anteny sektorowej az. 230° | 0,3-2,0 | <0.003* | 0.007 | 0.09 | 51°3'26.279" 17°1'17.759" |
| - | GKP w odległości 316m od anteny sektorowej az. 230° | 0,3-2,0 | <0.003* | 0.007 | 0.09 | 51°3'23.76" 17°1'12.719" |
| 36 | GKP w odległości 153m od anteny sektorowej az. 350° | 0,3-2,0 | <0.003* | 0.007 | 0.09 | 51°3'35.28" 17°1'23.879" |
| - | GKP w odległości 335m od anteny sektorowej az. 350° | 0,3-2,0 | <0.003* | 0.007 | 0.09 | 51°3'41.039" 17°1'22.439" |

GKP – Główny Kierunek Pomiarowy
PPP – Pomocniczy Pion pomiarowy

¹ wyniki oznaczone * są wynikami poniżej czułości zestawu pomiarowego

² współrzędne geograficzne pozyskane metodą obliczeniową w oparciu o pomiar punktu referencyjnego

Sprawozdanie z badań bez pisemnej zgody laboratorium nie może być powielane inaczej niż w całości.
Wynik przedstawione w niniejszym sprawozdaniu odnoszą się wyłącznie do badanego obiektu i do warunków i konfiguracji urządzeń w dniu wykonywania pomiarów.

³ do wyznaczenia wartości wskaźnikowej WM_E i WM_H przyjęto na podstawie uzgodnień z klientem oraz rozpoznania źródeł, jako wartości dopuszczalne pola elektrycznego i magnetycznego odpowiednio 28 V/m i 0,073 A/m.

⁴ do wyznaczenia niepewności dla wyników poniżej czułości zestawu pomiarowego, przyjęto niepewność dla minimalnej wartości z zakresu pomiarowego.

⁵ maksymalna wartość chwilowa

Niepewność oszacowano zgodnie z dokumentem P-03 „Procedura nadzoru nad wyposażeniem” w postaci niepewności rozszerzonej wynikającej z niepewności standardowej pomnożonej przez współczynnik rozszerzenia $k=2$.

Całkowita szacowana niepewność rozszerzona składowej E wynosi odpowiednio: 52.9% dla częstotliwości do 60 GHz

Dla przedmiotowych pomiarów zlecniodawca określił poprawkę pomiarową = 1.65.

Umiejscowienie pionów (punktów) pomiarowych przedstawiono w nr 2 do niniejszego sprawozdania.

10. Omówienie wyników pomiarów

Wyniki pomiarów uzyskane zostały przy uwzględnieniu poprawek pomiarowych przekazanych przez zlecniodawcę, umożliwiających uwzględnienie maksymalnych parametrów pracy instalacji zlecniodawcy oraz innych operatorów występujących w obszarze pomiarowym.

W wyniku zastosowania sposobu sprawdzenia dotrzymania dopuszczalnych poziomów pól elektromagnetycznych w środowisku, zgodnie pkt 25 ppkt 1 Rozporządzenia Ministra Klimatu z dnia 17 lutego 2020 r. (Dz. U. 2020, poz. 258), w związku z tym, że żadna z wartości wskaźnikowych, udokumentowanych w tabelach w pkt. 9 nie przekracza wartości 1, stwierdza się, że w miejscach, w których wykonano pomiary w otoczeniu instalacji radiokomunikacyjnej 46075 (76075N!) PWR_WROCLAW_PARAFIALNA, dopuszczalne poziomy pól elektromagnetycznych w środowisku należy uznać za dotrzymane.

11. Podstawa prawna

- 1) Ustawa z dnia 27 kwietnia 2001 r. Prawo ochrony środowiska (t. j. Dz. U. z 2020 r., poz. 1219 z późn.zm.)
- 2) Rozporządzenie Ministra Zdrowia z dnia 17 grudnia 2019 r. w sprawie dopuszczalnych poziomów pól elektromagnetycznych w środowisku (Dz. U. 2019, poz. 2448)
- 3) Rozporządzenie Ministra Klimatu z dnia 17 lutego 2020 r. w sprawie sposobów sprawdzania dotrzymania dopuszczalnych poziomów pól elektromagnetycznych w środowisku (Dz. U. 2020, poz. 258),
- 4) Akredytacja nr AB 419 wydana przez Polskie Centrum Akredytacji (wydanie 17, z dnia 13 stycznia 2021r.).

12. Spis załączników

- Załącznik 1. Lokalizacja obiektu badań
Załącznik 2. Usytuowanie pionów (punktów) pomiarowych
Załącznik 3. Dokumentacja fotograficzna obiektu badań

13. Data wydania i autoryzowania sprawozdania

Obliczenia i sprawozdanie wykonał :



Signed by /
Podpisano przez:

Agnieszka
Wachowicz

Date / Data: 2021-
10-05 10:05

Sprawozdanie autoryzował:



Signed by /
Podpisano przez:

Łukasz Kosznik

Date / Data:
2021-10-05
13:22

Koniec sprawozdania




Sprawozdanie z badań bez pisemnej zgody laboratorium nie może być powielane inaczej niż w całości.
Wynik przedstawione w niniejszym sprawozdaniu odnoszą się wyłącznie do badanego obiektu i do warunków i konfiguracji urządzeń w dniu wykonywania pomiarów.



| | |
|----------------|---|
| Załącznik nr 1 | Instalacja radiokomunikacyjna T-Mobile Polska S.A. 46075 (76075N!) PWR_WROCLAW_PARAFIALNA Lokalizacja stacji |
|----------------|---|

Sprawozdanie z badań bez pisemnej zgody laboratorium nie może być powielane inaczej niż w całości.
Wynik przedstawione w niniejszym sprawozdaniu odnoszą się wyłącznie do badanego obiektu i do warunków i konfiguracji urządzeń w dniu wykonywania pomiarów.



| | |
|----------------|--|
| Załącznik nr 2 | <p>Instalacja radiokomunikacyjna T-Mobile Polska S.A. 46075 (76075N!) PWR_WROCLAW_PARAFIALNA</p> <p>Usytuowanie pionów pomiarowych w otoczeniu instalacji radiokomunikacyjnej</p> |
| | <p><i>Legenda:</i></p> <div style="display: flex; justify-content: space-around; align-items: center;"> <div style="text-align: center;">  <p>Pion pomiarowy</p> </div> <div style="text-align: center;">  <p>Kierunek oddziaływania anten sektorowych</p> </div> <div style="text-align: center;">  <p>Kierunek oddziaływania anten radioliniowych</p> </div> </div> |

Formularz F-13



Załącznik nr 3

Instalacja radiokomunikacyjna T-Mobile Polska S.A. 46075 (76075N!) PWR_WROCLAW_PARAFIALNA

Dokumentacja fotograficzna

Sprawozdanie z badań bez pisemnej zgody laboratorium nie może być powielane inaczej niż w całości.
Wynik przedstawione w niniejszym sprawozdaniu odnoszą się wyłącznie do badanego obiektu i do warunków i konfiguracji urządzeń w dniu wykonywania pomiarów.